

III-101 液性塑性限界の同時測定法に関する研究(第6報)

北海道大学工学部 正員 ○ 中村耕次
 " " " 北郷繁

1. まえがき 第5報¹⁾ではフォールコーン法による液性塑性限界(w_L , w_P)の同時測定が、コーン貫入量(P)と含水比(w)の両対数表示によって、現行のJISと同程度の精度で可能であることを示した。しかし、活性度の高い試料の中のあるものは、活性指数が0.20近辺の点で $\log P - \log w$ 関係が直線からわずかに左にずれ、両対数表示の直線関係から w_L を求めるところの試みの精度上における一つの難点を指摘してある。本実験では次の三点を主な目的とした。

- (1) この左方へのずれ、いわゆる左偏倚への再現性
- (2) w_P 付近の低含水比状態におけるフォールコーン貫入試験の適用限界
- (3) 左偏倚という現象がコーン先端角90°の器具的特性であるかどうか

2. 試料土と実験方法 試料は道内から採取した29種で、そのうち11種類は第5報での実験で使用されたものである。その w_L は37~93%, w_P は18~45%, 粘土分は19~65%変化している。試料一試験時の含水比は図-1にあるように塑性範囲を対数的に5等分し、4点と w_P よりわずかに大きい含水比、1点の計5段階である。試料の調整方法は自然含水比を空気乾燥にして w_P 以下にエグ、試験時に順次含水量を増すことで同一試料から5段階の含水比(w)のコーン貫入値(P)を得る。今回の試験装置は使い易さから市販フォールコーン貫入試験機を採用したが、従来の試験装置と機能的にはほとんど同じであると思われる。コーンは先端角が60°で重量が60g, 100gの2種、90°, 200gの計3種である。容器は直径60mm, 深さ30mmとして自由落下とした。

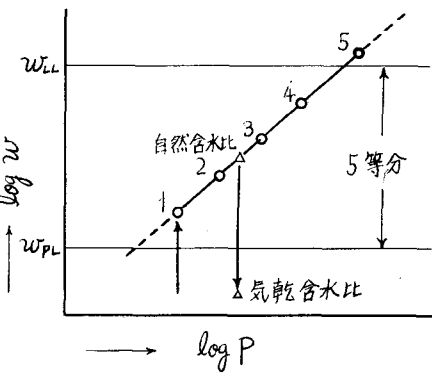


図-1 含水比段階

3. 実験結果とその検討

	傾斜	60°-60g	活性度	60°-100g	活性度	90°-200g	活性度
3-1. $\log P - \log w$ の直線性	偏倚	7個	0.66	7個	0.77	10個	0.72
$\log P - \log w$ の直線関係からの w_P 近くの点の左方へのずれ	直線	22	0.82	22	0.79	19	0.82
	合計	29	0.78	29	0.78	29	0.78

表-1 左偏倚の現象

の量も少くない。表-1はその結果であるが、先端角60°のコーンについても生じていて左偏倚は90°コーンの器具的特性とは言えない。従来、その粘土の活性度と何がしかの相関があるかも知れないと思われていたが、今回に限り左偏倚の生じた粘土の活性度の平均は左偏倚の生じない粘土の活性度の平均よりも大きくて小さく、土粒子の表面活性のある程度の定量的表現であると言われている活性度との相関性は期待できない。

表-2は前報²⁾、1969年の実験および今回の実験結果について、90°, 200gコーンの左偏倚の再現性につ

いて調べたものである。三つの実験結果をみると前報での実験と1969年の実験の再現性は認められるが、今回の実験とはその再現性は悪い。找Rはこの理解に苦しむが、以下言えることはある土が $90^{\circ}200^{\circ}$ コンで左偏倚を生じても、コンが異なれば必ずしも左偏倚を生ずるとは言えないことである。左偏倚という現象はコン貫入に対する土のせん断強度の現れのみによるものではなく、コン貫入と試験時の土の種類は要素の相互作用の結果ではないかと考えられる。ここでいう要素については、これを詳論するに足る十分なデータを有していないわけではないが、それは多分試料調整時と試験時にかけた含水量の増し方、練り返しの程度によるその速工、試験時の加水後の放置時間等の因子なのであろう。

$\log P - \log w$ 表示によるにおける点群から最小自乗法によって回帰直線 $\log w = A \log P + B$ を決定し、次式によつてその直線からの含水比方の偏差を求めた。

$$S_w = \sqrt{\frac{1}{n-1} \sum_{i=1}^{n-1} (10^{\log P_i + B} - w_i)^2 / n-1} \quad (1)$$

表-3は(1)式の結果である。標準偏差 S_w は全実験値から求めたもの、標準偏差 S'_w は左偏倚の可能性のある図-1の1の点の測定値を除いたものから回帰直線を求め、それからの標準偏差を求めるもの。これから、測定値の回帰直線からのずれは、統計的に処理された平均的な数値であるが含水比の値として左偏倚が2%程度であることが分かる。低含水比の部分を除くと予想されるように直線性はよくなるが、その差は僅かであり実質上全塑性領域に渡って直線とみはしていいと思われる。

3-2. 基準貫入量の決定 基準貫入量 (P_L , \bar{P}_L) は現行のJIS法によつて両限界値に対応する貫入量として求めら

れたものである。表-4の P_L' , \bar{P}_L' は図-1の1の点を除いた時の値である。両限界値に対応するコン貫入量のはうつきは、アッターベルグ両限界時のせん断強度のはうつきに依存しているものと思われる。

次に、 w_{LL} , w_{PL} と P_L , \bar{P}_L から求められた w_{CL} , w_{CP} の

試料No.	5報	1969年	個別試験	合計
4	有	無	有	0.48
5	無	無	有	0.65
7	有	有	無	0.41
8	有	有	有	0.81
11	—	無	有	0.86
12	有	有	無	0.96
14	—	有	有	0.91
17	有	有	無	0.84
18	有	有	有	1.12
19	—	無	有	1.06
28	—	有	有	1.08

— 実験値の範囲

表-2 左偏倚の再現性

コーン	平均	変動範囲	平均	変動範囲
$60^{\circ}60^{\circ}$	0.97	0.58~1.57	0.82	0.32~1.59
$60^{\circ}100^{\circ}$	0.86	0.36~1.92	0.81	0.38~2.10
$90^{\circ}200^{\circ}$	0.90	0.44~1.62	0.76	0.43~1.82

表-3 標準偏差

標準偏差 S_w は全実験値から求めたもの、標準偏差 S'_w は左偏倚の可

	$60^{\circ}60^{\circ}$ 变動範囲	$60^{\circ}100^{\circ}$ 变動範囲	$90^{\circ}200^{\circ}$ 变動範囲			
P_L	11.5 mm	9.2~14.0 mm	15.2 mm	11.2~18.0 mm	13.2 mm	10.0~16.0
P_L'	11.5	9.2~15.0	15.1	11.2~18.0	13.2	9.8~16.0
P_L	1.54	0.70~2.88	2.11	1.12~3.68	2.21	1.03~4.10
P_L'	1.66	0.82~3.08	2.25	1.15~4.00	2.39	1.20~4.20

表-4 基準貫入量

コーンの 種類	相関係数 r	相関係数 r'
$w_{LL} - w_{CL}$	0.980	0.933
$w_{PL} - w_{CP}$	0.989	0.915
$w_{LL} - w_{CL}'$	0.985	0.905
$w_{PL} - w_{CP}'$	0.988	0.888

表-5 相関係数

相間を求めてみる。表-5中の r は図-1の1の点を除いた時の相関係数であるが、 r と比較すると w_{LL} に関しては良いが w_{PL} に関しては小さくなる場合がある。従って、全塑性領域に渡つてのモルコン実験値の方が現行のアッターベルグ両限界値とよい相関を有すようである。

4. めとがき この実験は昭和45年度卒業研究として平岡陽治、白瀬治郎君が行つたものである。

文献：1) 北郷, 佐藤：液性塑性両限界の同時測定法に関する研究(第5報), 土と基礎, Vol.18, No.6

2) 木田, 成井：モルコン法による液性塑性両限界の同時測定法に関する実験的研究, 昭和44年度卒業論文として北海道大学工学部に提出